



НАЦИОНАЛЬНЫЙ ИССЛЕДОВАТЕЛЬСКИЙ ЦЕНТР «КУРЧАТОВСКИЙ ИНСТИТУТ»

Петербургский институт ядерной физики им. Б.П. Константинова  
Национального исследовательского центра «Курчатовский институт»



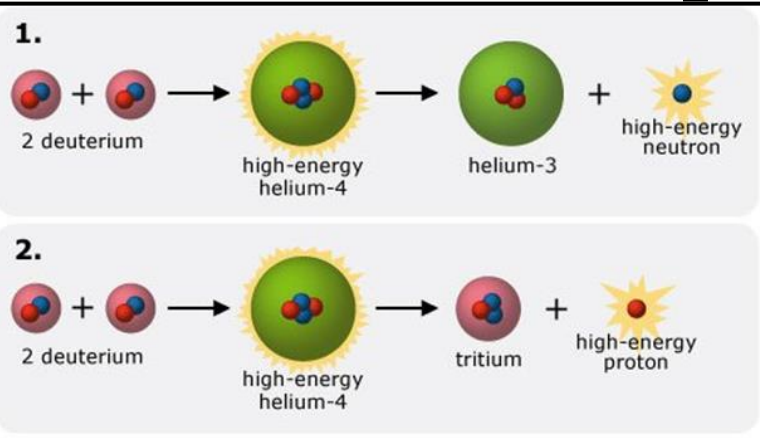
# Измерение и анализ угловых распределений сечения ядерной реакции DD-синтеза с участием поляризованных пучков дейтронов в эксперименте POLFUSION

*Андреянов Алексей Владимирович*  
ПИЯФ, ОФВЭ, ЛКСТ

Вопросы поляризационной физики легких ядер  
Гатчина 2022

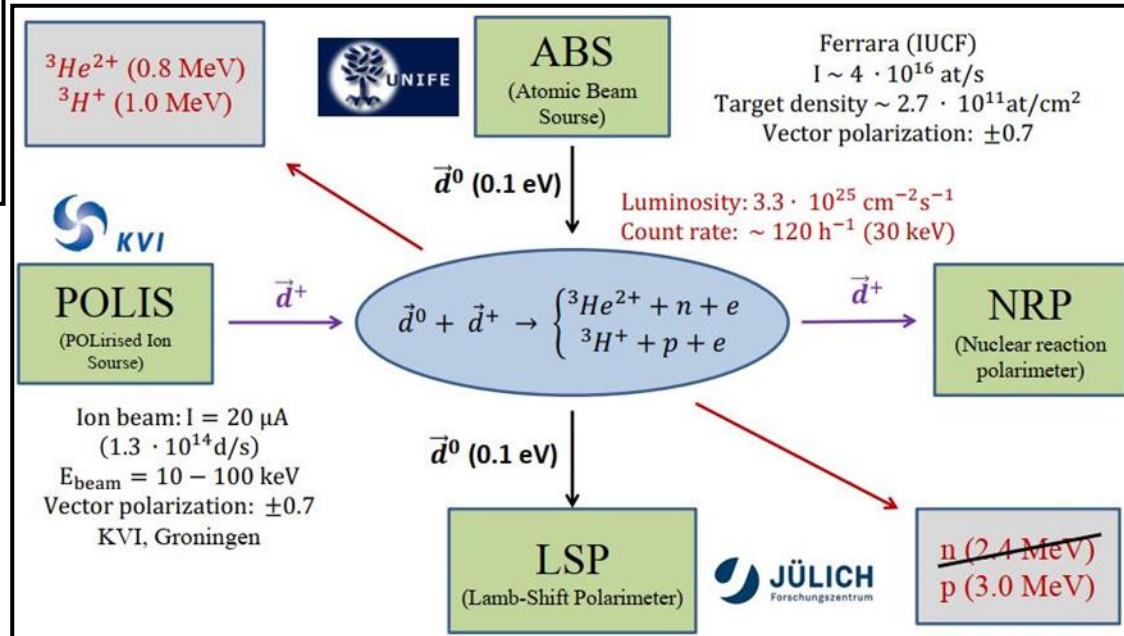
# Эксперимент PolFusion

Исследование реакций  $D(d, p)^3H$  и  $D(d, n)^3He$  с поляризацией исходных частиц при низких энергиях (до 100 кэВ).

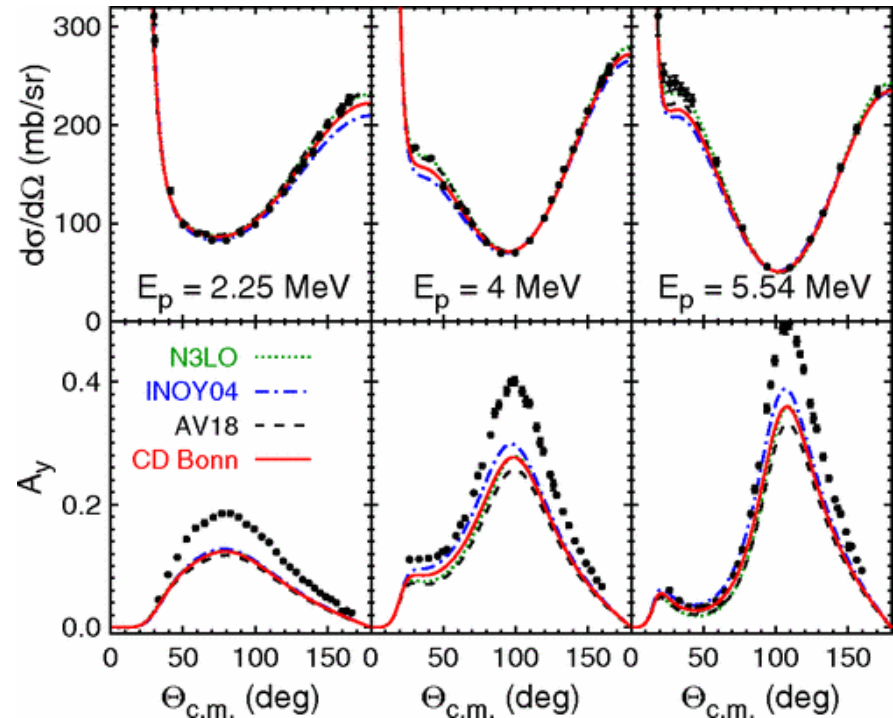
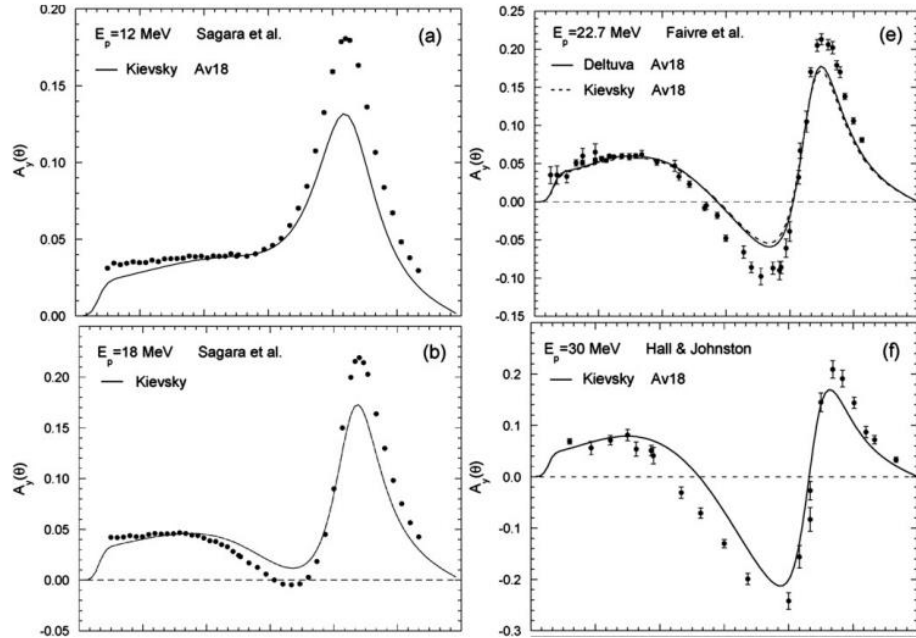


## Коллаборация PolFusion

1. НИЦ «Курчатовский институт» -- ПИЯФ, РФ;
2. Исследовательский центр Юлиха, Германия;
3. Университет города Феррары, Италия.



# Мотивация. Микроскопические теории.



Расхождение между измерениями  $A_y$  и предсказаниями уравнений Фадеева-Якубовского для 3N-системы (nucleon-D).

[W. Tornow et al., J. Phys. G 35, 125104 (2008)]

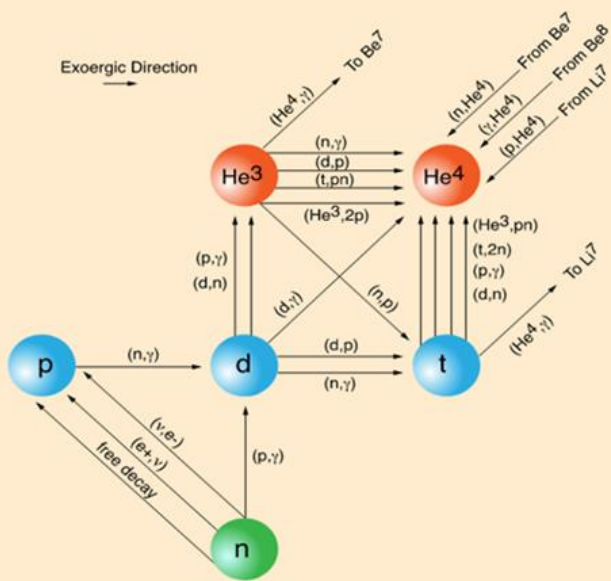
Дифференциальное сечение и протонная анализирующая способность реакции  $p$ -He3. Результаты включают кулоновское взаимодействие с потенциалами CD Bonn, AV18, INOY04, N3LO.

[Deltuva, Fonseca. Phys.Rev.Let., 98(16) (2007)]

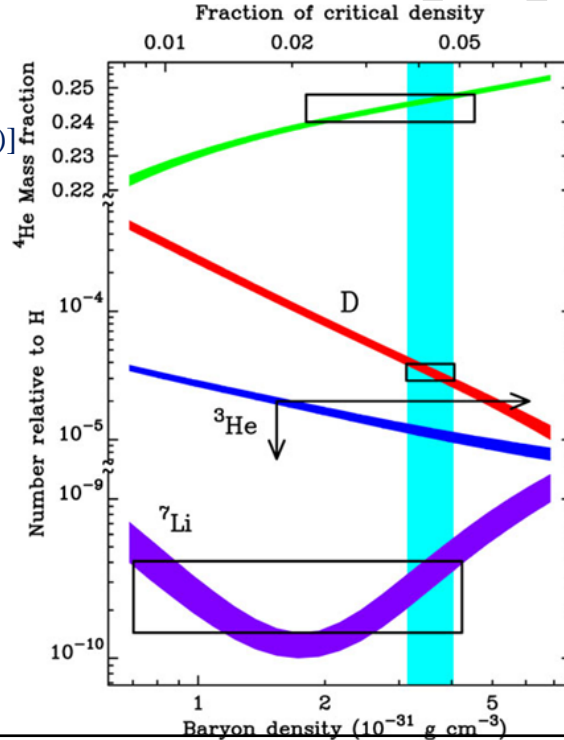
# Мотивация. Астрофизика

## Первичный нуклеосинтез

- [G.Huey, Phys. Rev. D 69, 103503 (2004)]
- [R.H. Cyburt Phys. Rev. D 70, 023505 (2004)]



Реакции первичного нуклеосинтеза

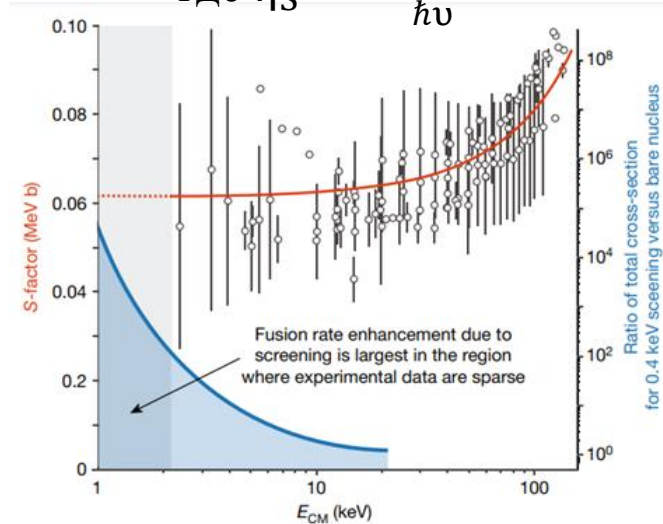


Предсказания нуклеосинтеза для распространенностей первичных  $^4\text{He}$ ,  $\text{D}$ ,  $^3\text{He}$ ,  $^7\text{Li}$  вместе с результатами наблюдений и  $2\sigma$  неопределенностями.

Астрофизический S-фактор:

$$S(E_{\text{c.m.}}) = \sigma_{\text{tot}} \cdot E_{\text{c.m.}} \cdot e^{2\pi\eta_S}$$

$$\text{где } \eta_S = \frac{Z_1 Z_2 e^2}{\hbar v}$$



Данные по астрофизическому S-фактору для dd-синтеза как функции энергии. Синяя линия показывает отношение вычисленного сечения с учетом экранирующего потенциала к сечению для голого ядра.

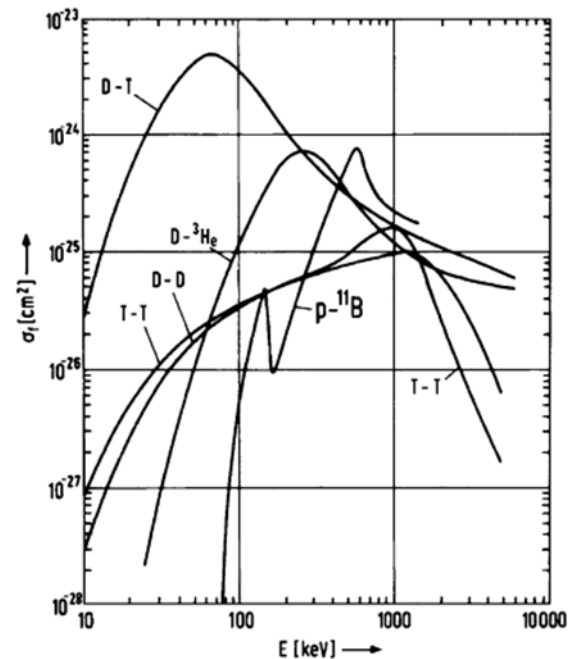
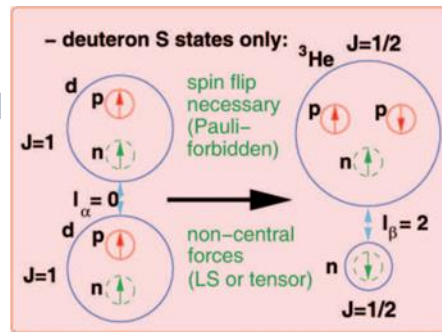
# Мотивация. Термоядерная энергетика

## Управление вылетом нейтронов

- [R. M. Kulsrud, Phys. Rev. Lett. T. 49, 17. 1248-1251 (1982)]
- [Hale G., Doolen G. Los Alamos national laboratory report. 1984. No. LA-9971-MS.]
- [Micklich B., Princeton plasma physics laboratory report 1983 No. PPPL-1994.]

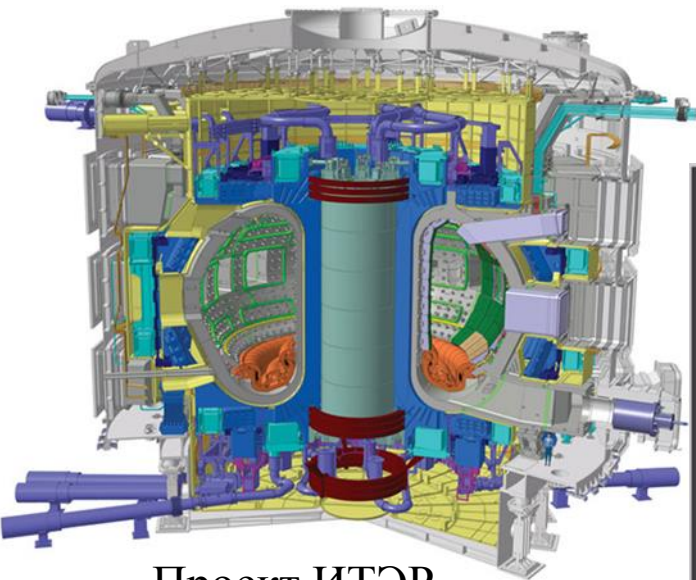
## Подавление нейтронного канала

- [H. Paetz gen. Schieck, Eur. Phys. J. A 44, 321–354 (2010)]
- [Deltuva and Fonseca, Phys. Rev. C 81 (2010)]



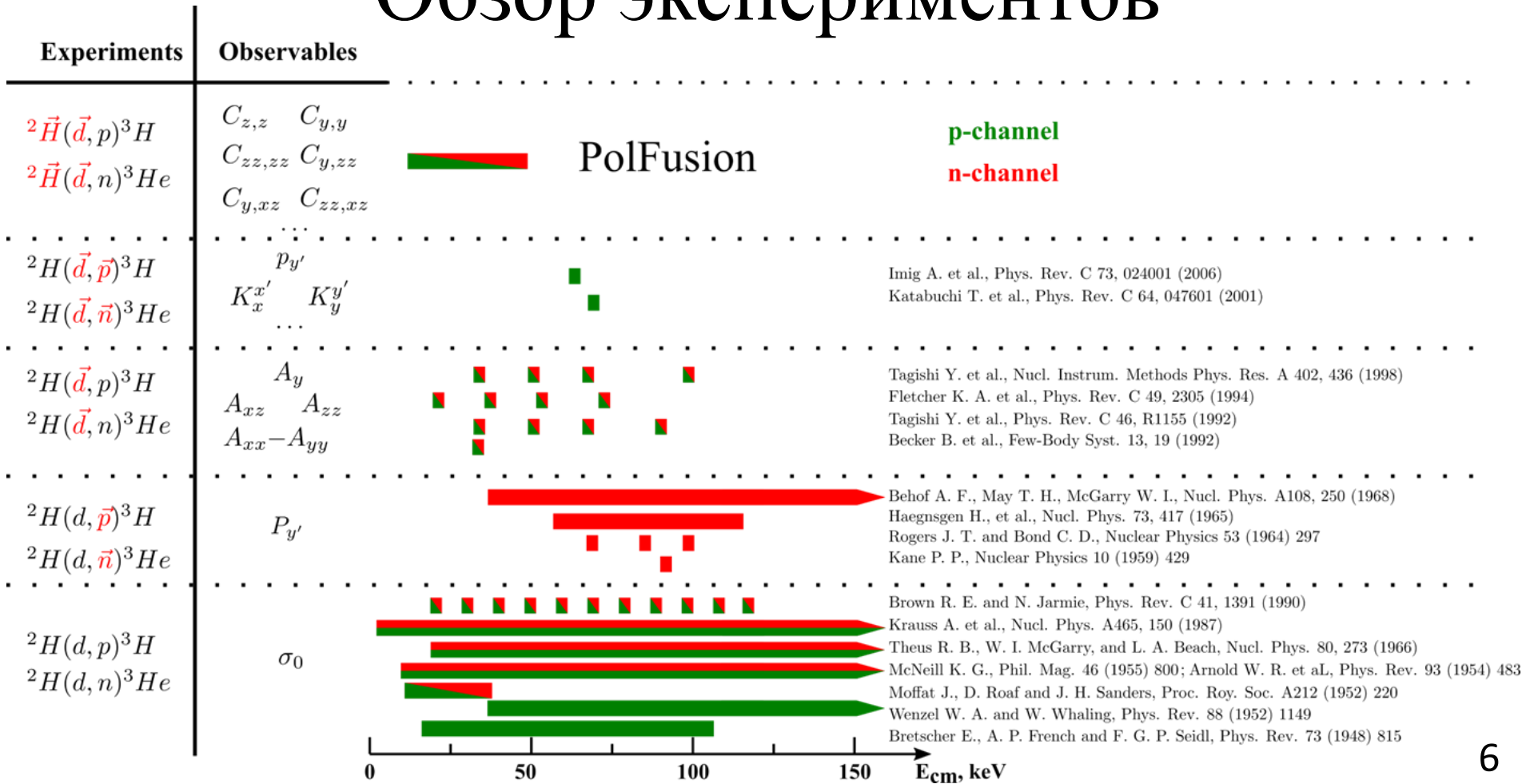
Интегральное сечение реакций синтеза как функция энергии относительного движения.

Реакции	Температура ионизации	Энергия произведена keV
$\text{D} + \text{T} \rightarrow {}^4\text{He} + \text{n}$	4 keV	17,600
$\text{D} + \text{He} \rightarrow {}^4\text{He} + \text{p}$	30 keV	18,300
$\text{D} + \text{D} \rightarrow {}^3\text{He} + \text{n}$	35 keV	4,000
$\text{D} + \text{D} \rightarrow \text{T} + \text{p}$	35 keV	4,000



Проект ИТЭР

# Обзор экспериментов

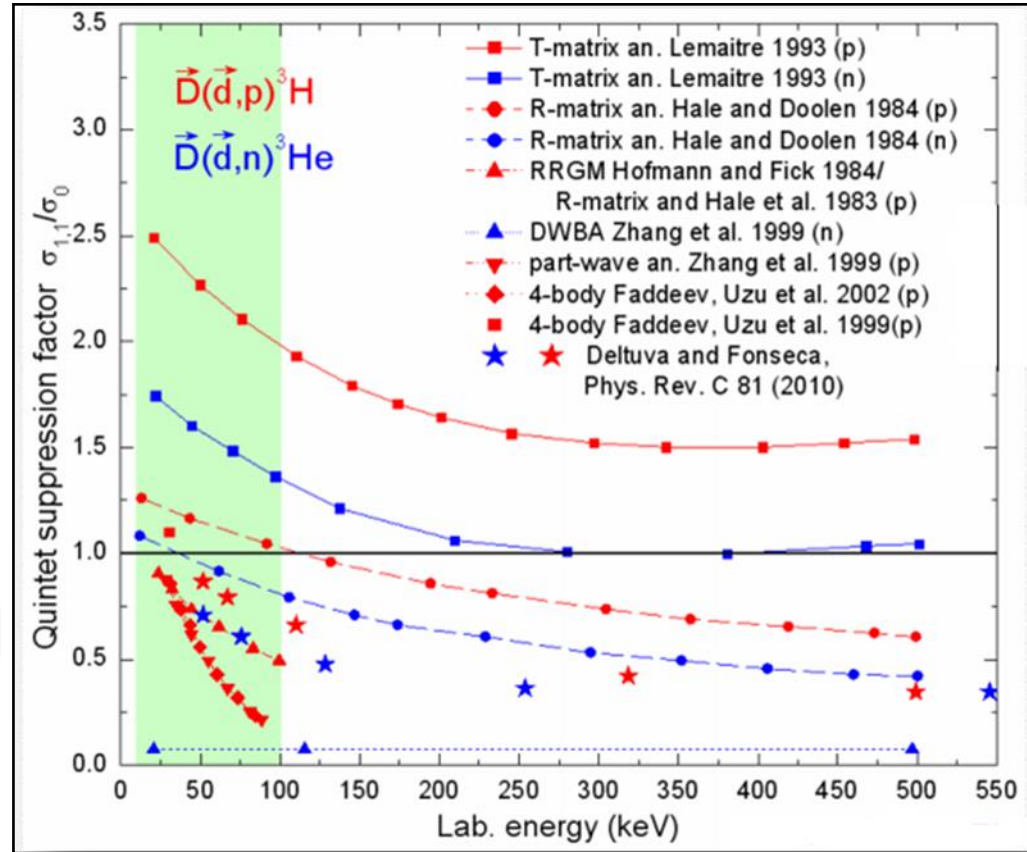


# Обзор теоретических моделей

1. Уравнения Фадеева-Якубовского (FY) (Lazauskas)
2. Уравнения Альта-Грассбергера-Сандаса (AGS) (Fonseca, Deluva)
3. Метод гиперсферических гармоник (НН) (Viviani, Kievsky, Rosati)
4. Метод резонирующих групп (RGM+NCSM) (Hofmann, Hale)
5. Ab initio метод (Deltuva, Fonseca)

$$QSF = \frac{\sigma_{1,1}}{\sigma_0} \quad \sigma_0 = \frac{1}{9} \left( \underbrace{2\sigma_{1,1}}_{\text{Quintet}} + \underbrace{4\sigma_{1,0}}_{\text{Triplet}} + \underbrace{\sigma_{0,0} + 2\sigma_{1,-1}}_{\text{Singlet}} \right)$$

[H. Paetz gen. Schieck Eur. Phys. J. A 44, (2010) 321]



# Математический аппарат разложения по парциальным волнам

Когерентное наложение сферических волн

$$\Psi_{in}(r) = e^{ikz} = \sum_l (2l + 1) i^l u_l(kr) P_l(\cos(\theta))$$

Матричные элементы переходов между состояниями

$$T_{\beta\alpha} = \langle 2S_{\alpha}+1 l_{\alpha J} | J^{\pi} | 2S_{\beta}+1 l_{\beta J} \rangle$$

Правила отбора:

$$\begin{array}{l} S_{\alpha} \text{ четно} \\ l_{\alpha} \text{ четно} \\ l_{\beta} \text{ четно} \\ S_{\beta} = \mathbf{0, 1} \end{array}$$

$$\begin{array}{l} S_{\alpha} \text{ нечетно} \\ l_{\alpha} \text{ нечетно} \\ l_{\beta} \text{ нечетно} \\ S_{\beta} = \mathbf{0, 1} \end{array}$$

$T_1 = \alpha_0 = \langle {}^1S_0   0^+   {}^1S_0 \rangle$	$T_{17} = \langle {}^5D_3   3^+   {}^3G_3 \rangle$
$T_2 = \alpha_{10} = \langle {}^3P_0   0^-   {}^3P_0 \rangle$	$T_{18} = \langle {}^5D_4   4^+   {}^1G_4 \rangle$
$T_3 = \beta_{11} = \langle {}^3P_1   1^-   {}^1P_1 \rangle$	$T_{19} = \langle {}^5D_4   4^+   {}^3G_4 \rangle$
$T_4 = \alpha_{11} = \langle {}^3P_1   1^-   {}^3P_1 \rangle$	$T_{20} = \langle {}^3F_2   2^-   {}^3P_2 \rangle$
$T_5 = \alpha_{12} = \langle {}^3P_2   2^-   {}^3P_2 \rangle$	$T_{21} = \langle {}^3F_2   2^-   {}^3F_2 \rangle$
$T_6 = \alpha_2 = \langle {}^1D_2   2^+   {}^1D_2 \rangle$	$T_{22} = \langle {}^3F_3   3^-   {}^1F_3 \rangle$
$T_7 = \beta_2 = \langle {}^1D_2   2^+   {}^3D_2 \rangle$	$T_{23} = \langle {}^3F_3   3^-   {}^3F_3 \rangle$
$T_8 = \alpha_3 = \langle {}^3P_2   2^-   {}^3F_2 \rangle$	$T_{24} = \langle {}^3F_4   4^-   {}^3F_4 \rangle$
$T_9 = \gamma_1 = \langle {}^5S_2   2^+   {}^1D_2 \rangle$	$T_{25} = \langle {}^5G_2   2^+   {}^1D_2 \rangle$
$T_{10} = \gamma_2 = \langle {}^5D_0   0^+   {}^1S_0 \rangle$	$T_{26} = \langle {}^5G_2   2^+   {}^3D_2 \rangle$
$T_{11} = \gamma_3 = \langle {}^5D_2   2^+   {}^1D_2 \rangle$	$T_{27} = \langle {}^5G_3   3^+   {}^3D_3 \rangle$
$T_{12} = \delta_1 = \langle {}^5S_2   2^+   {}^3D_2 \rangle$	$T_{28} = \langle {}^1G_4   4^+   {}^1G_4 \rangle$
$T_{13} = \delta_2 = \langle {}^5D_1   1^+   {}^3S_1 \rangle$	$T_{29} = \langle {}^1G_4   4^+   {}^3G_4 \rangle$
$T_{14} = \delta_3 = \langle {}^5D_1   1^+   {}^3D_1 \rangle$	$T_{30} = \langle {}^5G_3   3^+   {}^3G_3 \rangle$
$T_{15} = \delta_4 = \langle {}^5D_3   3^+   {}^3D_3 \rangle$	$T_{31} = \langle {}^5G_4   4^+   {}^1G_4 \rangle$
$T_{16} = \delta_5 = \langle {}^5D_2   2^+   {}^3D_2 \rangle$	$T_{32} = \langle {}^5G_4   4^+   {}^3G_4 \rangle$
	$T_{33} = \langle {}^5G_5   5^+   {}^3G_5 \rangle$

# Математический аппарат

$$\frac{d\sigma}{d\Omega} = Sp(\rho_{out}) = Sp(T\rho_{in}T^\dagger)$$

$$\begin{aligned} \frac{d\sigma}{d\Omega} &= \frac{1}{9} Sp \left( T \left[ I + \frac{3}{2} \sum_i p_i S_i + \frac{1}{3} \sum_{i,j} p_{ij} S_{ij} \right] \left[ I + \frac{3}{2} \sum_i q_i S_i + \frac{1}{3} \sum_{i,j} q_{ij} S_{ij} \right] T^\dagger \right) \\ &= \frac{1}{9} Sp(TT^\dagger) \left[ 1 + \frac{3}{2} \sum_i q_i A_i + \frac{1}{3} \sum_{ij} q_{ij} A_{ij} + \frac{3}{2} \sum_i p_i A_i + \frac{9}{4} \sum_{ij} p_i q_j C_{i,j} + \right. \\ &\quad \left. + \frac{1}{2} \sum_{ijk} p_i q_j k C_{i,j,k} + \frac{1}{3} \sum_{ij} p_{ij} A_{ij} + \frac{1}{2} \sum_{ijk} p_{ij} q_k C_{i,j,k} + \frac{1}{9} \sum_{ijkl} p_{ij} q_{kl} C_{i,j,kl} \right], \end{aligned}$$

Выражения для анализирующих способностей и спин-корреляционных коэффициентов

$$A_i = \frac{Sp(TS_iT^\dagger)}{Sp(TT^\dagger)}; \quad A_{ij} = \frac{Sp(TS_{ij}T^\dagger)}{Sp(TT^\dagger)};$$

$$C_{i,j} = \frac{Sp(TS_iS_jT^\dagger)}{Sp(TT^\dagger)}; \quad C_{i,j,k} = \frac{Sp(TS_iS_jkT^\dagger)}{Sp(TT^\dagger)};$$

$$C_{ij,k} = \frac{Sp(TS_{ij}S_kT^\dagger)}{Sp(TT^\dagger)}; \quad C_{ij,kl} = \frac{Sp(TS_{ij}S_{kl}T^\dagger)}{Sp(TT^\dagger)}.$$

Поляризованное сечение в декартовой системе координат

$$\begin{aligned} \sigma_p(\theta) &= \sigma_0(\theta) \left\{ 1 + \frac{3}{2} \left[ A_y^{(b)}(\theta) p_y + A_y^{(t)}(\theta) q_y \right] + \frac{1}{2} \left[ A_{zz}^{(b)}(\theta) p_{zz} + A_{zz}^{(t)}(\theta) q_{zz} \right] + \right. \\ &\quad \left. + \frac{1}{6} \left[ A_{xx-yy}^{(b)}(\theta) p_{xx-yy} + A^{(t)}(\theta) q_{xx-yy} \right] + \right. \\ &\quad \left. + \frac{9}{4} \left[ C_{y,y}(\theta) p_y q_y + C_{x,x}(\theta) p_x q_x + C_{x,z}(\theta) p_x q_z + C_{z,x}(\theta) p_z q_x + C_{z,z}(\theta) p_z q_z \right] + \right. \\ &\quad \left. + \frac{3}{4} \left[ C_{y,zz}(\theta) p_y q_{zz} + C_{zz,y}(\theta) p_{zz} q_y \right] + C_{y,xz}(\theta) p_y q_{xz} + \right. \\ &\quad \left. C_{xz,y}(\theta) p_{xz} q_y + C_{x,yz}(\theta) p_x q_{yz} + C_{yz,x}(\theta) p_{yz} q_x + C_{z,yz}(\theta) p_z q_{yz} + C_{yz,z}(\theta) p_{yz} q_z + \right. \\ &\quad \left. + \frac{1}{4} \left[ C_{y,xx-yy}(\theta) p_y q_{xx-yy} + C_{xx-yy,y}(\theta) p_{xx-yy} q_y + C_{zz,zz}(\theta) p_{zz} q_{zz} \right] + \right. \\ &\quad \left. + \frac{1}{3} \left[ C_{zz,xz}(\theta) p_{zz} q_{xz} + C_{xz,zz}(\theta) p_{xz} q_{zz} \right] + \right. \\ &\quad \left. + \frac{1}{12} \left[ C_{zz,xx-yy}(\theta) p_{zz} q_{xx-yy} + C_{xx-yy,zz}(\theta) p_{xx-yy} q_{zz} \right] + \right. \\ &\quad \left. + \frac{4}{9} \left[ C_{xz,xz}(\theta) p_{xz} q_{xz} + C_{yz,yz}(\theta) p_{yz} q_{yz} \right] + \frac{8}{9} \left[ C_{xy,yz}(\theta) p_{xy} q_{yz} + C_{yz,xy}(\theta) p_{yz} q_{xy} \right] + \right. \\ &\quad \left. + \frac{16}{9} C_{xy,xy}(\theta) p_{xy} q_{xy} + \frac{1}{9} \left[ C_{xz,xx-yy}(\theta) p_{xz} q_{xx-yy} + C_{xx-yy,xz}(\theta) p_{xx-yy} q_{xz} \right] + \right. \\ &\quad \left. + \frac{1}{36} C_{xx-yy,xx-yy}(\theta) p_{xx-yy} q_{xx-yy} + \right. \\ &\quad \left. + \frac{1}{2} \left[ C_{x,xy}(\theta) p_x q_{xy} + C_{xy,x}(\theta) p_{xy} q_x + C_{z,xy}(\theta) p_z q_{xy} + C_{xy,z}(\theta) p_{xy} q_z \right] \right\}. \quad 9 \end{aligned}$$

# Математический аппарат

Матрица реакции в представлении  
общего спина

Матричные элементы  
амплитуды реакции

$$B = \frac{1}{2i\sqrt{k_i k_f}} \begin{pmatrix} B_{12}^{12} & B_{11}^{12} & B_{11}^{11} & B_{10}^{12} & B_{10}^{11} & B_{10}^{10} & B_{1-1}^{12} & B_{1-1}^{11} & B_{1-2}^{12} \\ B_{02}^{12} & B_{01}^{12} & B_{01}^{11} & B_{00}^{12} & B_{00}^{11} & B_{00}^{10} & B_{0-1}^{12} & B_{0-1}^{11} & B_{0-2}^{12} \\ B_{02}^{02} & B_{01}^{02} & B_{01}^{01} & B_{00}^{02} & B_{00}^{01} & B_{00}^{00} & B_{0-1}^{02} & B_{0-1}^{01} & B_{0-2}^{02} \\ B_{-12}^{12} & B_{-11}^{12} & B_{-11}^{11} & B_{-10}^{12} & B_{-10}^{11} & B_{-10}^{10} & B_{-1-1}^{12} & B_{-1-1}^{11} & B_{-1-2}^{12} \end{pmatrix}$$

$$B_{\sigma_\beta \sigma_\alpha}^{S_\beta S_\alpha} = \sum_{J=0}^{\infty} \sum_{l_\alpha=|J-S_\alpha|}^{J+S_\alpha} \sum_{l_\beta=|J-S_\beta|}^{J+S_\beta} i^{l_\alpha-l_\beta} \sqrt{4\pi(2l_\alpha+1)} C_{l_\alpha 0 S_\alpha \sigma_\alpha}^{J S_\alpha} C_{l_\beta (\sigma_\alpha-\sigma_\beta) S_\beta \sigma_\beta}^{J S_\alpha} \times$$

$T_{l_\beta S_\beta l_\alpha S_\alpha}^J$  – комплексная парциальная амплитуда;

$Y_{lm}(\vartheta, \varphi)$  – сферические функции;

$J$  – полный момент для данной парциальной волны;

$l_\alpha, l_\beta$  – орбитальные моменты начального и конечного состояния;

$C_{j_1 m_1 j_2 m_2}^{JM}$  – коэффициенты Клебша-Гордана;

$P_l^m(\cos(\vartheta))$  – присоединенные полиномы

Лежандра.

$$\times T_{l_\beta S_\beta, l_\alpha S_\alpha}^J Y_{l_\beta, (\sigma_\alpha - \sigma_\beta)}(\theta, \varphi);$$

$$Y_{lm}(\theta, \phi) = e^{im\varphi} \sqrt{\frac{2l+1}{4\pi} \frac{(l-m)!}{(l+m)!}} P_l^m(\cos(\theta));$$

# Математический аппарат

Явный вид некоторых матричных элементов амплитуды реакции, выраженных через парциальные амплитуды, определяющих угловую зависимость:

$$B_{1-2}^{12} = \frac{1}{2} e^{-3i\varphi} \left[ P_4^3 \left( \frac{1}{4} \sqrt{\frac{1}{6}} T_{41,22}^3 - \frac{1}{4} \sqrt{\frac{3}{70}} T_{41,22}^4 - \frac{1}{4} \sqrt{\frac{1}{15}} T_{41,42}^3 + \right. \right.$$

$$\left. + \frac{9}{20} \sqrt{\frac{3}{77}} T_{41,42}^4 - \frac{1}{10} \sqrt{\frac{1}{6}} T_{41,42}^5 \right) \right];$$

$$B_{11}^{11} = \frac{1}{2} \left[ P_1^0 \left( 3T_{11,11}^1 + 3T_{11,11}^2 - \sqrt{6} T_{11,31}^2 \right) + \right.$$

$$\left. + P_3^0 \left( -\sqrt{6} T_{31,11}^2 + 2T_{31,31}^2 + 7T_{31,31}^3 + 5T_{31,31}^4 \right) \right]$$

$$B_{01}^{11} = \frac{1}{\sqrt{2}} e^{i\varphi} \left[ P_1^1 \left( -\frac{3}{2} T_{11,11}^1 + \frac{3}{2} T_{11,11}^2 - \sqrt{\frac{3}{2}} T_{11,31}^2 \right) + \right.$$

$$\left. + P_3^1 \left( \sqrt{\frac{3}{2}} T_{31,11}^2 - \frac{2}{3} T_{31,31}^2 - \frac{7}{12} T_{31,31}^3 + \frac{5}{4} T_{31,31}^4 \right) \right];$$

$$B_{00}^{10} = 0, \quad B_{-10}^{10} = B_{10}^{10}, \quad B_{00}^{01} = 0, \quad B_{0-1}^{01} = B_{01}^{01},$$

$$B_{-1-1}^{11} = B_{11}^{11}, \quad B_{0-1}^{11} = -B_{01}^{11}, \quad B_{-10}^{11} = -B_{-10}^{11}, \quad B_{-11}^{11} = B_{1-1}^{11},$$

$$B_{0-1}^{02} = -B_{01}^{02}, \quad B_{0-2}^{02} = B_{02}^{02}, \quad B_{00}^{12} = 0,$$

$$B_{-1-2}^{12} = B_{12}^{12}, \quad B_{-12}^{12} = B_{1-2}^{12}, \quad B_{-1-1}^{12} = -B_{11}^{12},$$

$$B_{0-2}^{12} = -B_{02}^{12}, \quad B_{-10}^{12} = B_{10}^{12}, \quad B_{0-1}^{12} = B_{01}^{12}, \quad B_{-11}^{12} = -B_{1-1}^{12},$$

# Математический аппарат

$$\begin{aligned}
 \sigma_p(\theta) = \sigma_0(\theta) \left\{ 1 + \frac{3}{2} \left[ A_y^{(b)}(\theta) p_y + A_y^{(t)}(\theta) q_y \right] + \frac{1}{2} \left[ A_{zz}^{(b)}(\theta) p_{zz} + A_{zz}^{(t)}(\theta) q_{zz} \right] + \frac{d\sigma_0}{d\Omega} = \frac{1}{9} \left[ \left( |B_{00}^{00}|^2 + |B_{00}^{02}|^2 + |B_{00}^{11}|^2 \right) + 2 \left( |B_{01}^{01}|^2 + |B_{01}^{02}|^2 + |B_{02}^{02}|^2 + |B_{10}^{10}|^2 + \right. \right. \\
 \left. \left. + |B_{01}^{11}|^2 + |B_{10}^{11}|^2 + |B_{11}^{11}|^2 + |B_{1-1}^{11}|^2 + |B_{01}^{12}|^2 + |B_{02}^{12}|^2 + |B_{10}^{12}|^2 + |B_{11}^{12}|^2 + \right. \right. \\
 \left. \left. + |B_{1-1}^{12}|^2 + |B_{1-2}^{12}|^2 \right) \right]; \\
 + \frac{1}{6} \left[ A_{xx-yy}^{(b)}(\theta) p_{xx-yy} + A^{(t)}(\theta) q_{xx-yy} \right] + \\
 + \frac{9}{4} \left[ C_{y,y}(\theta) p_y q_y + C_{x,x}(\theta) p_x q_x + C_{x,z}(\theta) p_x q_z + C_{z,x}(\theta) p_z q_x + C_{z,z}(\theta) p_z q_z \right] + \\
 + \frac{3}{4} \left[ C_{y,zz}(\theta) p_y q_{zz} + C_{zz,y}(\theta) p_{zz} q_y \right] + C_{y,xz}(\theta) p_y q_{xz} + \\
 C_{x,z,y}(\theta) p_{xz} q_y + C_{x,yz}(\theta) p_x q_{yz} + C_{y,z,x}(\theta) p_{yz} q_x + C_{z,yz}(\theta) p_z q_{yz} + C_{y,z,z}(\theta) p_{yz} q_z + \\
 + \frac{1}{4} \left[ C_{y,xx-yy}(\theta) p_y q_{xx-yy} + C_{xx-yy,y}(\theta) p_{xx-yy} q_y + C_{zz,zz}(\theta) p_{zz} q_{zz} \right] + \\
 + \frac{1}{3} \left[ C_{zz,xz}(\theta) p_{zz} q_{xz} + C_{xz,zz}(\theta) p_{xz} q_{zz} \right] + \\
 + \frac{1}{12} \left[ C_{zz,xx-yy}(\theta) p_{zz} q_{xx-yy} + C_{xx-yy,zz}(\theta) p_{xx-yy} q_{zz} \right] + \\
 + \frac{4}{9} \left[ C_{xz,xz}(\theta) p_{xz} q_{xz} + C_{yz,yz}(\theta) p_{yz} q_{yz} \right] + \frac{8}{9} \left[ C_{xy,yz}(\theta) p_{xy} q_{yz} + C_{yz,xy}(\theta) p_{yz} q_{xy} \right] + \\
 + \frac{16}{9} C_{xy,xy}(\theta) p_{xy} q_{xy} + \frac{1}{9} \left[ C_{xz,xx-yy}(\theta) p_{xz} q_{xx-yy} + C_{xx-yy,xz}(\theta) p_{xx-yy} q_{xz} \right] + \\
 + \frac{1}{36} C_{xx-yy,xx-yy}(\theta) p_{xx-yy} q_{xx-yy} + \\
 \left. + \frac{1}{2} \left[ C_{x,xy}(\theta) p_x q_{xy} + C_{xy,x}(\theta) p_{xy} q_x + C_{z,xy}(\theta) p_z q_{xy} + C_{xy,z}(\theta) p_{xy} q_z \right] \right\}. \\
 A_y^{(b)} = \frac{1}{18} \sqrt{6} \operatorname{Im} \left[ - (B_{01}^{01})^* B_{00}^{02} - (B_{11}^{11})^* B_{10}^{12} - (B_{1-1}^{11})^* B_{10}^{12} + \right. \\
 \left. + 3 \left( (B_{00}^{02})^* B_{01}^{02} \right) + (B_{10}^{12})^* B_{11}^{12} - (B_{10}^{12})^* B_{1-1}^{12} \right] \\
 + \frac{1}{6} \sqrt{2} \operatorname{Im} \left[ (B_{00}^{11})^* B_{01}^{11} + (B_{10}^{11})^* B_{11}^{11} - (B_{10}^{11})^* B_{1-1}^{11} - (B_{00}^{11})^* B_{01}^{12} - (B_{10}^{11})^* B_{11}^{12} - \right. \\
 \left. - (B_{10}^{11})^* B_{1-1}^{12} \right] + \frac{2}{9} \sqrt{3} \operatorname{Im} \left[ - (B_{00}^{00})^* B_{01}^{01} - (B_{10}^{10})^* B_{11}^{11} - (B_{10}^{10})^* B_{1-1}^{11} \right] \\
 + \frac{1}{3} \operatorname{Im} \left[ - (B_{01}^{01})^* B_{02}^{02} + (B_{01}^{02})^* B_{02}^{02} - (B_{01}^{11})^* B_{02}^{12} + (B_{01}^{12})^* B_{02}^{12} - (B_{11}^{11})^* B_{12}^{12} + \right. \\
 \left. + (B_{11}^{12})^* B_{12}^{12} - (B_{1-1}^{11})^* B_{1-2}^{12} - (B_{1-1}^{12})^* B_{1-2}^{12} \right]; \\
 C_{z,z} = \frac{1}{6} \sqrt{2} \operatorname{Re} \left[ - (B_{00}^{00})^* B_{00}^{02} - 2 (B_{10}^{10})^* B_{10}^{12} \right] + \\
 + \frac{1}{12} \left[ - |B_{00}^{02}|^2 - 2 \left( |B_{00}^{00}|^2 + |B_{10}^{12}|^2 \right) - 3 |B_{00}^{11}|^2 - 4 |B_{10}^{10}|^2 + \right. \\
 \left. + 6 \left( |B_{02}^{02}|^2 - |B_{10}^{11}|^2 + |B_{02}^{12}|^2 + |B_{12}^{12}|^2 + |B_{1-2}^{12}|^2 \right) \right]
 \end{aligned}$$

# Кулоновские поправки

$$T_{\beta,\alpha}(E) = C_{l\alpha} \tilde{T}_{\beta\alpha},$$

$$\frac{d\sigma_{\alpha \rightarrow \beta}}{d\Omega} = \frac{k_{\beta}}{k_{\alpha}} |T_{\beta\alpha}|^2 = \frac{k_{\beta}}{k_{\alpha}} |C_{l\alpha} \tilde{T}_{\beta\alpha}|^2.$$

$$C_l(r_0) = \sqrt{P_l(r_0) \exp(i(\delta_l(r_0) + \varphi_l(r_0)))}.$$

$$P_l(r_0) = \frac{|u_l^-(r \rightarrow \infty)|^2}{|u_l^-(r = r_0)|^2} = \frac{1}{F_l^2(r_0) + G_l^2(r_0)},$$

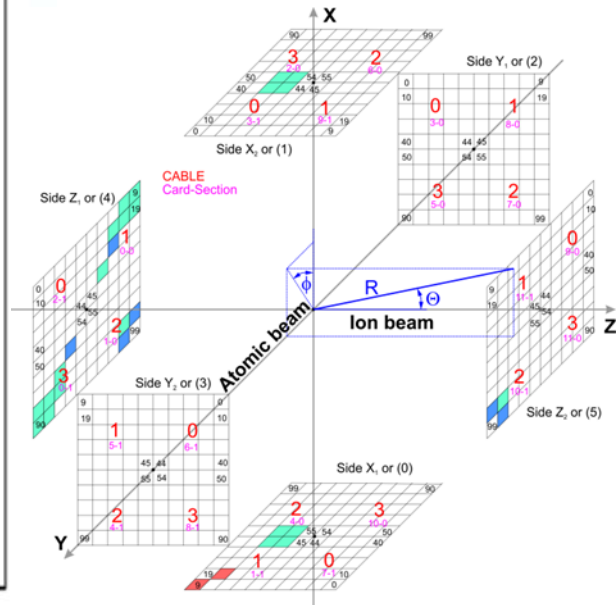
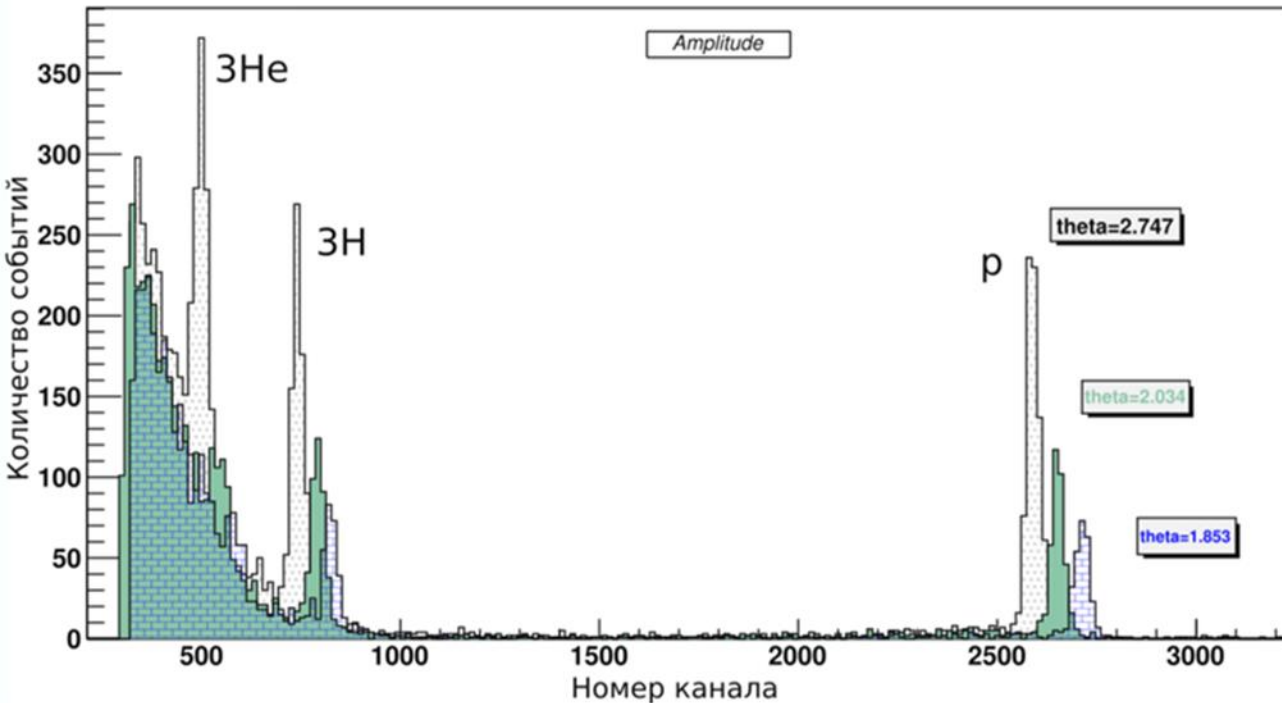
$$r_0 = k_{\alpha}^{-1} r_0'; \quad k_{\alpha} = 0.219 \sqrt{E_{cm}} [fm^{-1}].$$

$$\varphi_l = \arg \Gamma(l + i\eta + 1),$$

$$\delta_l = -\arctan\left(\frac{F_l(r_0)}{G_l(r_0)}\right),$$

Спасибо за внимание

# Тестовые сеансы



**Мишень:** пары тяжелой воды

**Время набора:** ~ 500 часов

**Энергия:** 15 и 25 кэВ

# Кулоновские поправки

$$T_{\beta,\alpha}(E) = C_{l\alpha} \tilde{T}_{\beta\alpha},$$

$$\left[ \frac{d^2}{dr^2} + 1 - \frac{l(l+1)}{r^2} - 2\frac{\eta}{r} \right] u_l^\pm(r) = 0,$$

$$u_l^\pm(r) = (G_l(r) \mp iF_l(r)) e^{\mp i\varphi_l},$$

$$\varphi_l = \arg \Gamma(l + i\eta + 1),$$

$$\delta_l = -\arctan\left(\frac{F_l(r_0)}{G_l(r_0)}\right),$$

$$r = kr'.$$

$$u_l^\pm(r) \xrightarrow{r \rightarrow \infty} \exp\left(\mp i\left(r - \eta \ln(2r) - \frac{\pi}{2}\right)\right)$$

$$\eta = \frac{Z_1 Z_2 \alpha}{v/c} = 0.1574 Z_1 Z_2 \sqrt{\frac{m_r}{E_{cm}}},$$

$$\eta_{D+D} = \frac{0.1574}{\sqrt{E_{cm}}},$$

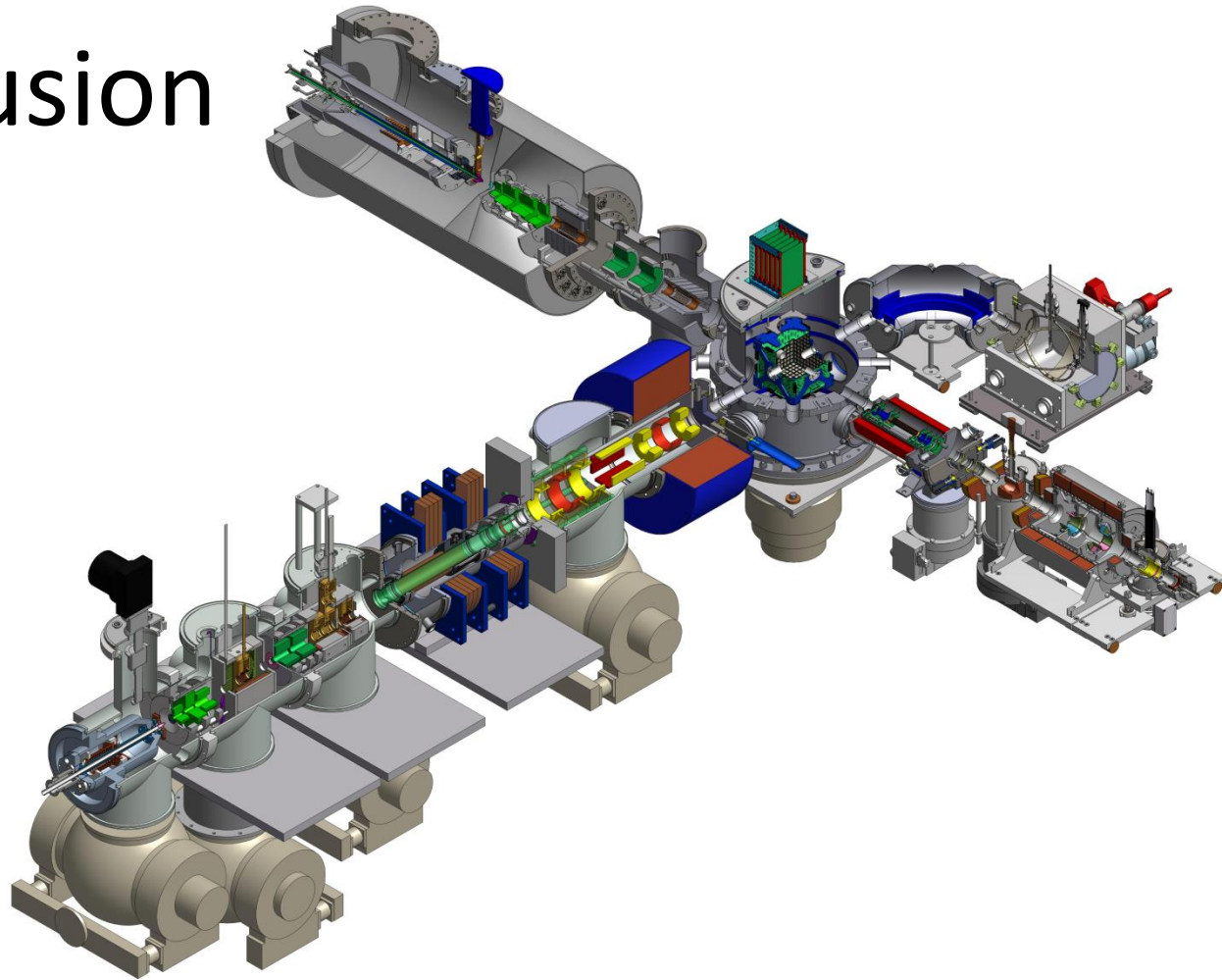
$$P_l(r_0) = \frac{|u_l^-(r \rightarrow \infty)|^2}{|u_l^-(r = r_0)|^2} = \frac{1}{F_l^2(r_0) + G_l^2(r_0)},$$

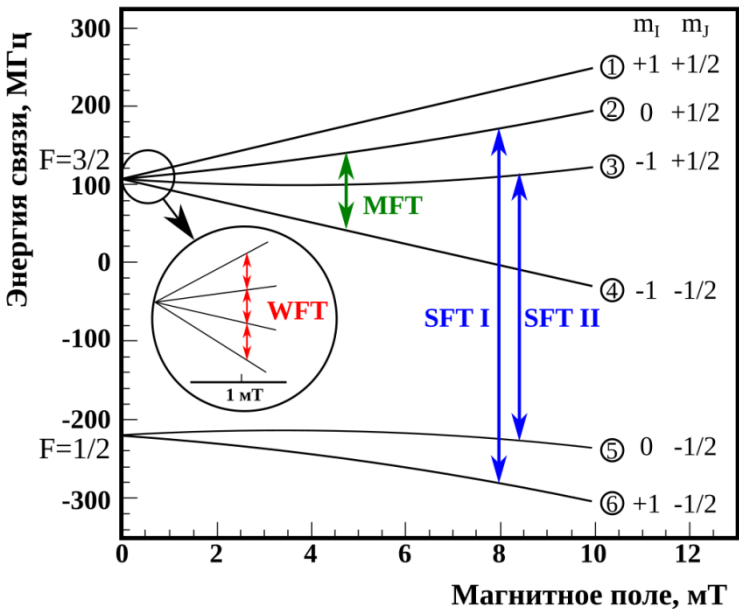
$$r_0 = k_\alpha r'_0; \quad k_\alpha = 0.219 \sqrt{E_{cm}} [fm^{-1}].$$

$$C_l(r_0) = \sqrt{P_l(r_0) \exp(i(\delta_l(r_0) + \varphi_l(r_0)))}.$$

$$\frac{d\sigma_{\alpha \rightarrow \beta}}{d\Omega} = \frac{k_\beta}{k_\alpha} |T_{\beta\alpha}|^2 = \frac{k_\beta}{k_\alpha} |C_{l\alpha} \tilde{T}_{\beta\alpha}|^2.$$

# PolFusion





# POLIS

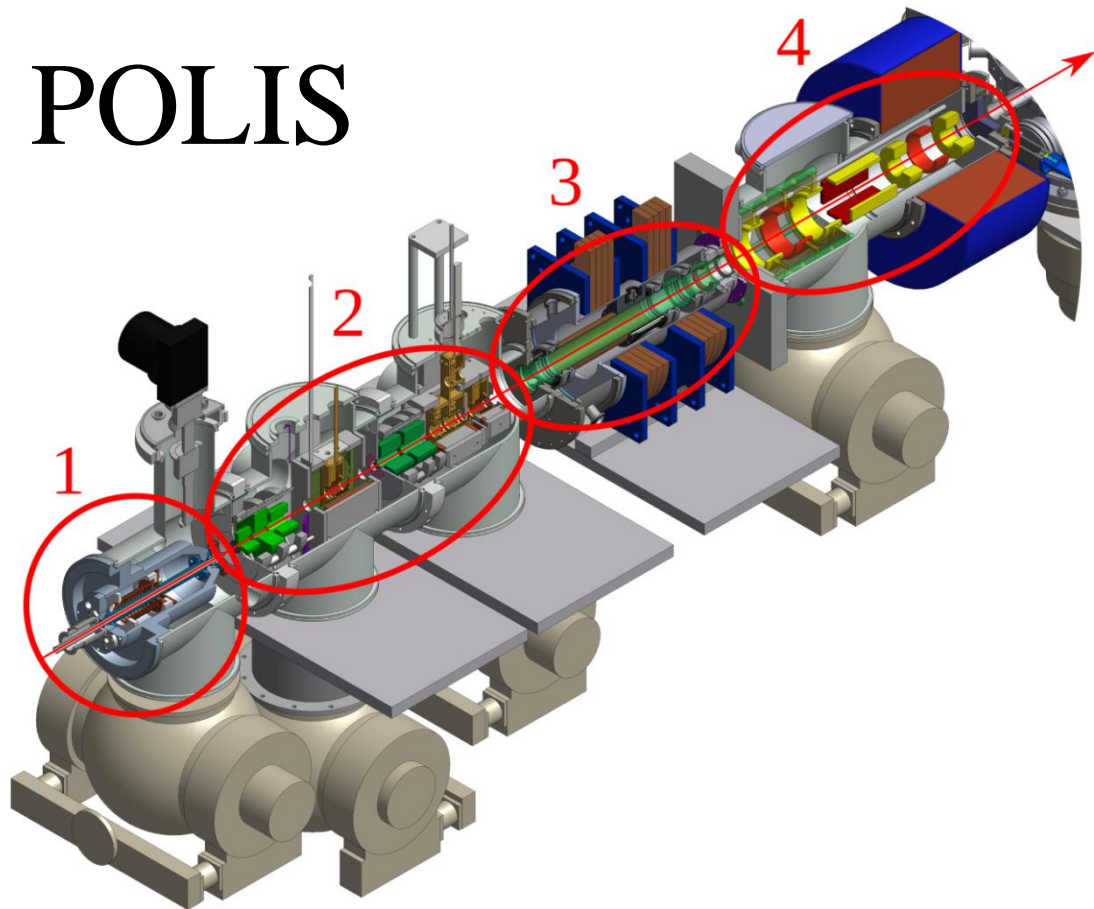
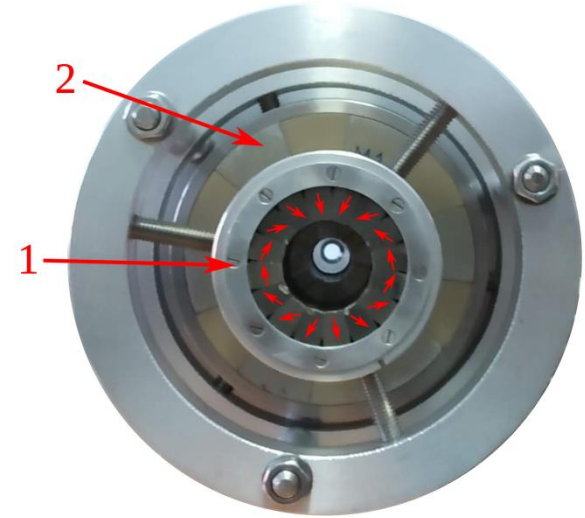
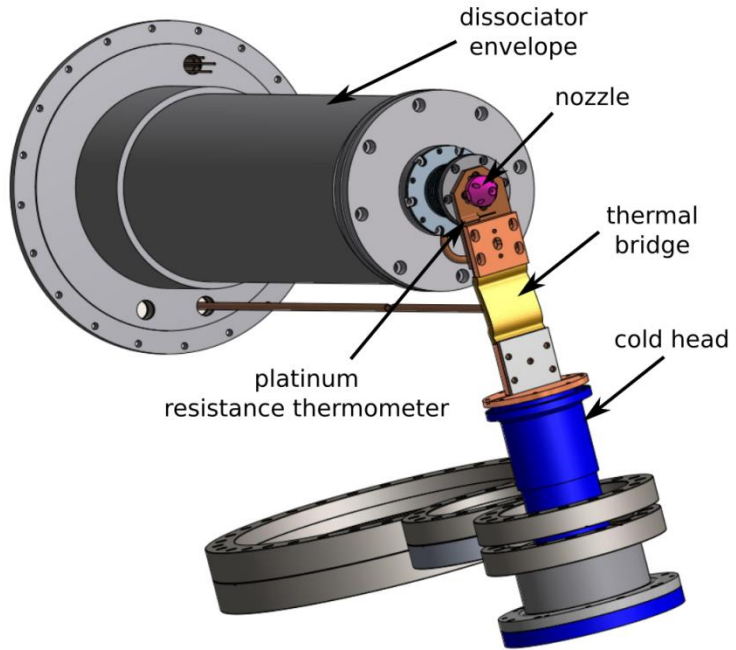
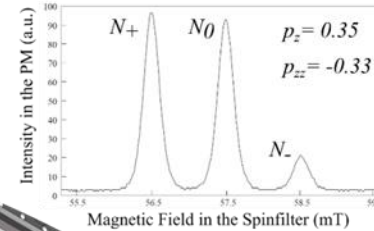
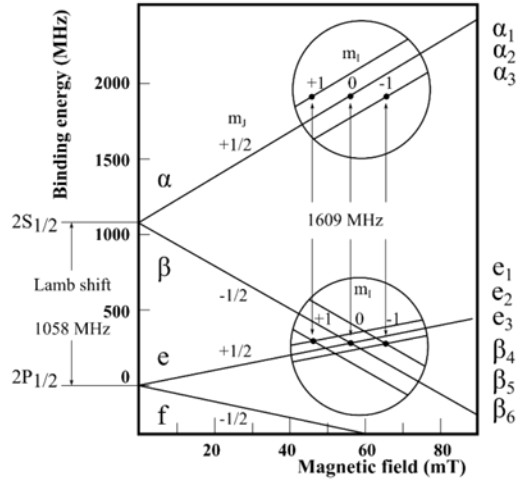


Рис. 2.2. Источник поляризованных дейтронов POLIS. Цифрами на рисунке обозначены: 1 – диссоциатор; 2– поляризатор; 3– ионизатор; 4 – система фокусировки ионного пучка.

# ABS

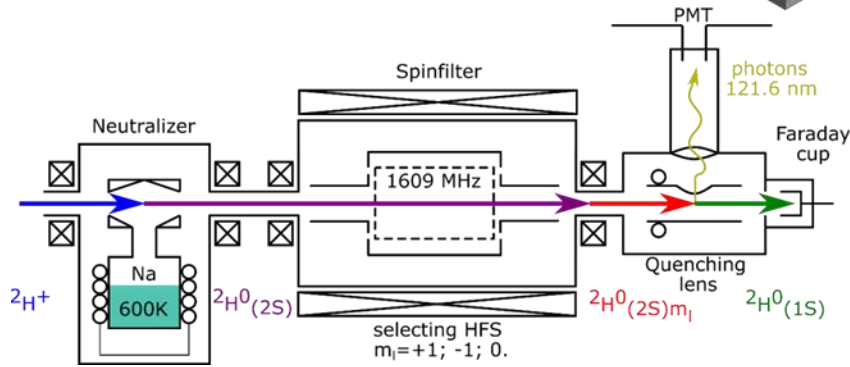
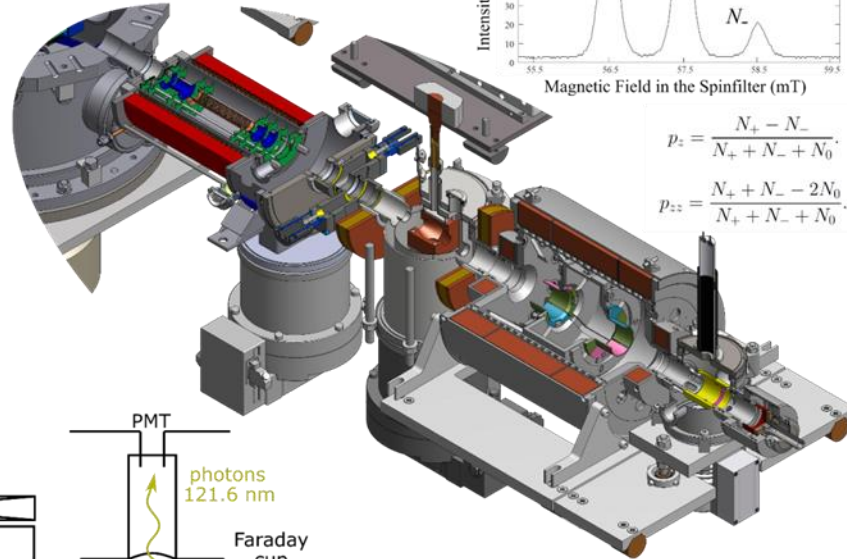


# Lamb Shift Polarimeter



$$p_z = \frac{N_+ - N_-}{N_+ + N_- + N_0}$$

$$p_{zz} = \frac{N_+ + N_- - 2N_0}{N_+ + N_- + N_0}$$



# Nuclear reaction polarimeter



$$\frac{L - R}{L + R} = \frac{\frac{3}{2} P_{ZZ} \sin \beta A_y}{1 + \frac{1}{2} P_{ZZ} [\sin^2 \beta A_{yy} + \cos^2 \beta A_{zz}]}$$

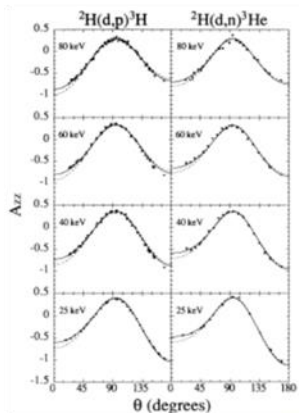
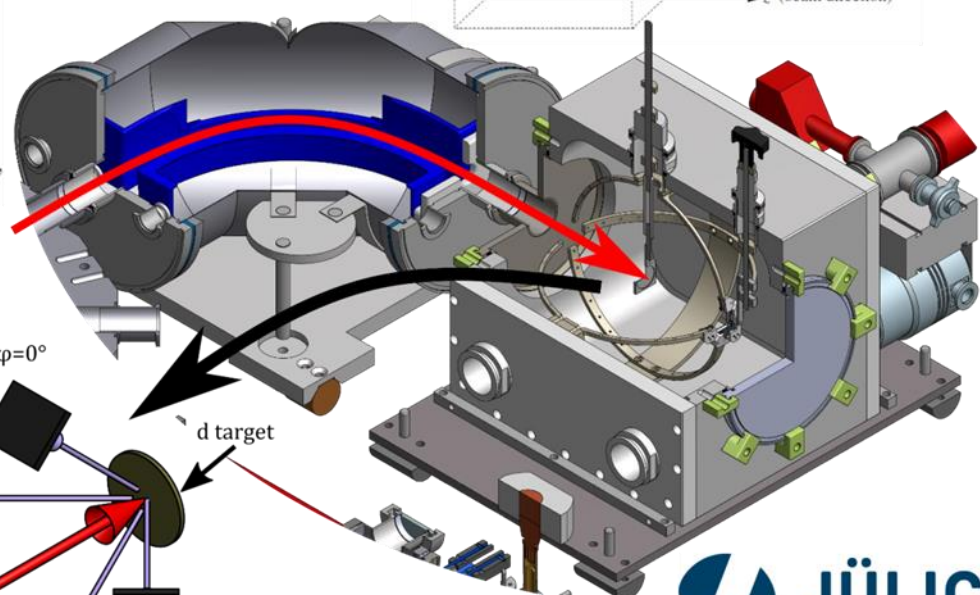
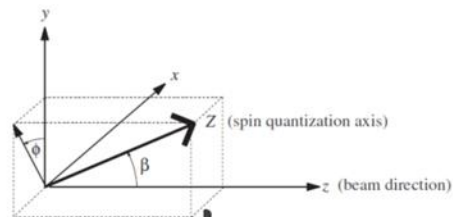
$$\frac{U - D}{U + D} = \frac{P_{ZZ} \sin \beta \cos \beta A_{xz}}{1 + \frac{1}{2} P_{ZZ} [\sin^2 \beta A_{xx} + \cos^2 \beta A_{zz}]}$$

$$\frac{2(L - R)}{L + R + U + D} = \frac{\frac{3}{2} P_{ZZ} \sin \beta A_y}{1 + \frac{1}{4} P_{ZZ} [3(\cos^2 \beta - 1) A_{zz}]}$$

$$\frac{2(U - D)}{L + R + U + D} = \frac{P_{ZZ} \sin \beta \cos \beta A_{xz}}{1 + \frac{1}{4} P_{ZZ} [3(\cos^2 \beta - 1) A_{zz}]}$$

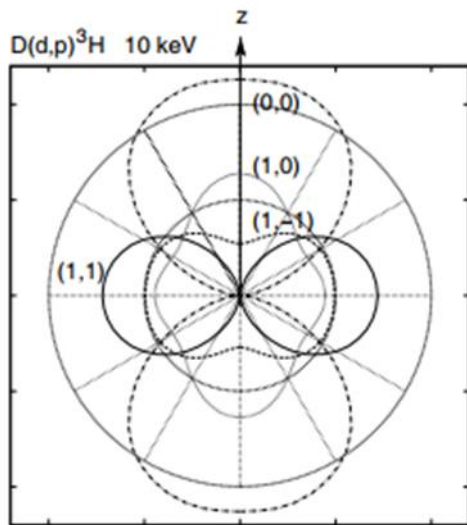
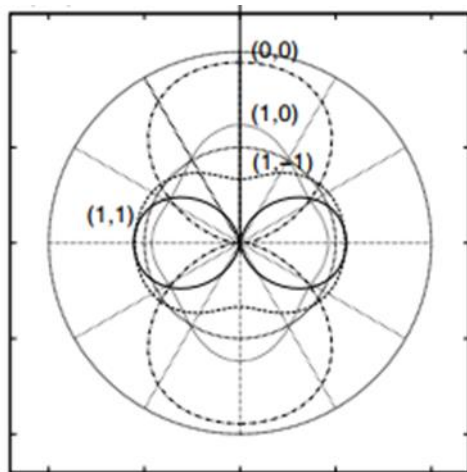
$$\frac{(L + R) - (U + D)}{L + R + U + D} = \frac{-\frac{1}{4} P_{ZZ} \sin^2 \beta (A_{xx} - A_{yy})}{1 + \frac{1}{4} P_{ZZ} [3(\cos^2 \beta - 1) A_{zz}]}$$

G.G. Ohlsen, P.W. Keaton, Jr., Nucl. Instr. and Meth. **109**, 41 (1973).

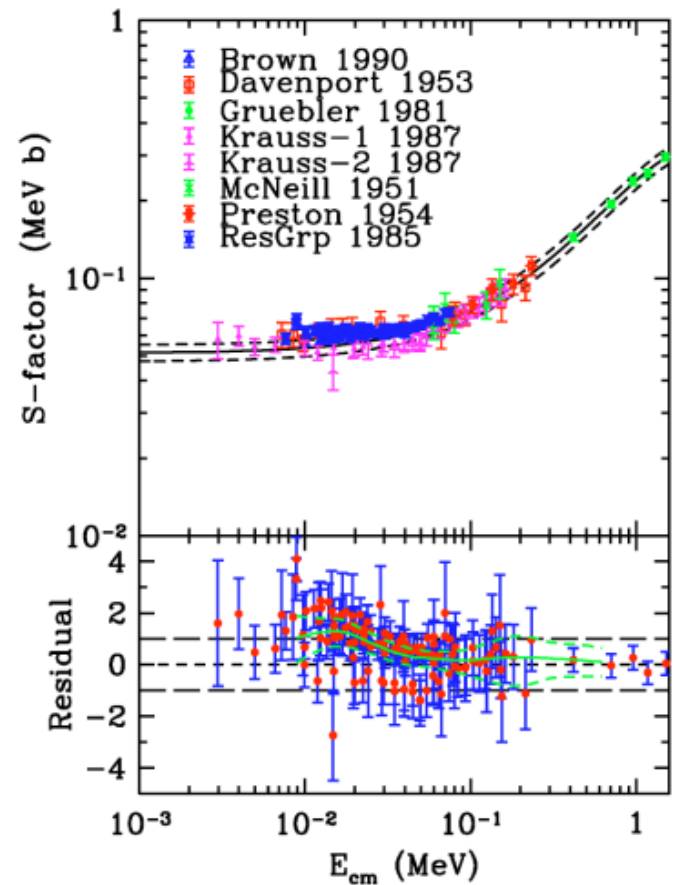
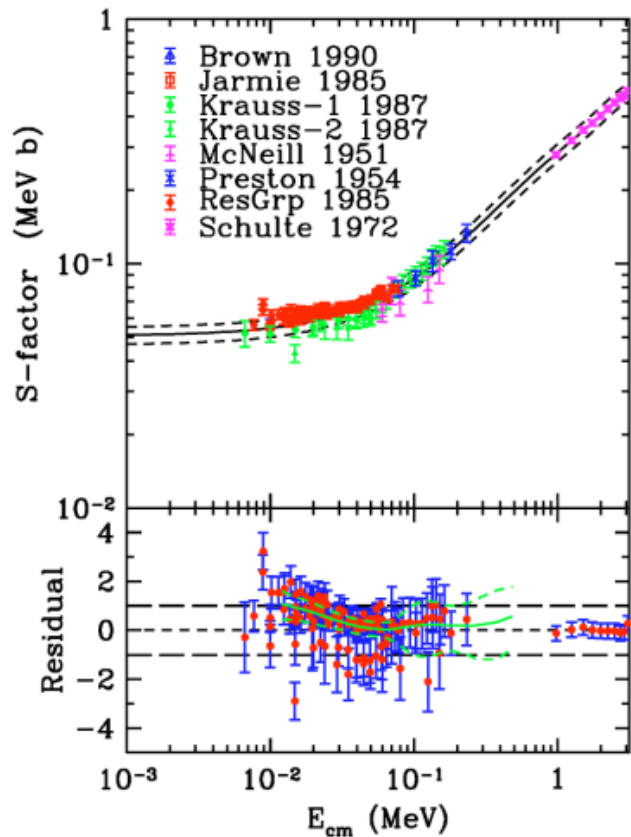


K. Fletcher, et al., Phys. Rev. C **49**, 2305 (1994).



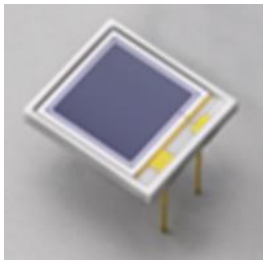


**Fig. 16.** Emission anisotropies of the spin-dependent partial reaction rates  $\langle \sigma_{m,n} \cdot v \rangle$  of the  ${}^2\text{H}(d,p){}^3\text{H}$  and  ${}^2\text{H}(d,n){}^3\text{He}$  reactions at a plasma temperature corresponding to  $kT = 10$  keV and for different deuteron spin orientations, from  $R$ -matrix parametrization, calculated from data of ref. [48]. In ref. [48] also calculations for other energies and for cross-sections are given. The averaging was done over the Maxwellian velocity distribution for temperature  $T$ . Results for both reactions are shown on the same (relative) scales.



D(d,p)3H

Скорость реакции для реакции  $d(d,n)^3\text{He}$ . Сплошная линия представляет лучший фит, пунктирная кривая – 1-сигма погрешность. Данные показаны с ошибками в 1-сигму. Нижняя часть показывает разницу в данных около лучшего фита, где ошибки выбраны  $\pm 1$ .



- 4- $\pi$  detector with 51% filling
- 576 Hamamatsu PIN-diodes (S3590-09)
- PIN-diode active area: 1 cm<sup>2</sup>
- depleted layer: 300  $\mu$ m
- energy resolution: <50keV
- low reverse voltage ( $\leq$ 50V)

